



مقاله پژوهشی

تأثیر نانوالیاف ژلاتین آلوئه ورا بر بیان ژن کلاژن I در پوست موش نر آزمایشگاهی پس از میکرونیدلینگ

اسدالله شهرانی^۱، مریم بنانج^{۱*}، پروین منصوری^۲، هنگامه علی بیک^۱، ناهید نیکخواه^۲

۱- گروه زیست‌شناسی، واحد تهران شمال، دانشگاه آزاد اسلامی، تهران، ایران

۲- مرکز تحقیقات پوست و سلول‌های بنیادی دانشگاه علوم پزشکی تهران، تهران، ایران

*مسئول مکاتبات: maryambananej@yahoo.com

تاریخ پذیرش: ۱۳۹۹/۰۷/۱۷

تاریخ دریافت: ۱۳۹۹/۰۷/۰۶

چکیده

پوست در معرض جراحات و صدمات مکانیکی است و با افزایش سن، کلاژن پوست دچار تغییرات می‌گردد. در ترمیم و جوانسازی پوست، از گیاهان دارویی و ژل آلوئه‌ورا به صورت تجربی و سنتی، استفاده می‌شود. در این مطالعه به تاثیر نانوالیاف ژلاتین آلوئه ورا بر بیان ژن کلاژن I پس از میکرونیدلینگ در پوست موش نر آزمایشگاهی پرداخته شد. این مطالعه، در شرایط آزمایشگاهی استاندارد انجام گرفت، موش‌های تحت آزمایش، میکرونیدلینگ شدند. گروه‌ها به مدت ۴۸ ساعت، تحت تاثیر تیمارهای، سالین، ژل آلوئه‌ورا و نانوالیاف ژلاتین- آلوئه‌ورا قرار گرفتند. پس از نمونه‌برداری و تخلیص RNA بافتی، میزان بیان ژن کلاژن I به روش Real time PCR مورد ارزیابی قرار گرفت. نتایج بدست آمده نشان داد: به علت جراحت پوستی، بیان ژن کلاژن I در گروه‌های تحت آزمایش نسبت به گروه شاهد، کاهش معنا دار داشت. اما تیمار با ژل آلوئه ورا و نانوالیاف ژلاتین آلوئه ورا، باعث افزایش معنا دار بیان ژن کلاژن I، نسبت به گروه مدل شد. میکرونیدلینگ باعث تحریک پوست شد. گلومانان موجود در نانو الیاف به صورت تدریجی آزاد شده و با عبور از منافذ ریز پوست، با تاثیر بر مسیر MAP/ERK باعث کاهش التهاب و افزایش بیان ژن کلاژن I در محل جراحت شد. این روش افزایش کلاژن پوست، باعث ترمیم و فرآیند جوانسازی پوست می‌گردد...

کلمات کلیدی: پوست، میکرونیدلینگ، نانوالیاف، ژلاتین، آلوئه ورا، PCR، کلاژن I

مقدمه

ماتریکس خارج سلولی ECM و تغییر در عملکرد سلول‌ها می‌گردد. پوست به طور پیوسته در حال جوانسازی است (۲۸). با توجه به آسیب‌های پوستی امروزه نیاز به روش‌های متنوع و جدیدی برای جوانسازی و القاء فیبروبلاست‌ها به منظور تولید کلاژن وجود دارد (۲۶). کلاژن حدود ۳۰ درصد وزن بدن را

پوست به عنوان اندام خارجی بدن همانند حصاری بدن را در برابر محیط محافظت می‌نماید (۱۴). به دنبال بروز هر گونه آسیب به پوست مجموعه‌ای از رویدادهای سلولی و مولکولی رخ می‌دهد (۴). این اندام در معرض جراحات و صدمات مکانیکی قرار دارد. و با افزایش سن دچار تغییرات طبیعی در

هنگامی که ژل آلوئه ورا در سطح پوست قرار می‌گیرد، امکان نفوذ مواد موثر آن از لایه اپیدرم سالم، ناچیز است. همچنین با خشک شدن ژل، رهایش گلومانان کاهش می‌یابد. در میکرونیدلینگ، با ایجاد جراحت جزئی، بافت پوست تحریک می‌گردد و می‌توان از منافذ ایجاد شده برای دارو رسانی هدفمند استفاده کرد. لذا در این مطالعه، با تلفیق مواد و روش‌های ذکر شده، ابتدا بر روی پوست موش، میکرونیدلینگ انجام شد و با تیمار نانوالیاف ژلاتین آلوئه ورا بر روی پوست، امکان مطالعه و دارورسانی موثر به بافت هدف حاصل شد. به منظور بررسی کلاژن و کامل‌نمودن مطالعه و ارزیابی بیان ژن ، از شاخص کمی RNA بافتی گروهای تحت آزمایش و شاهد، استفاده شد.

هدف از این پژوهش مقایسه استعمال سنتی آلوئه ورا، با روش‌های ذکر شده برای بیان ژن کلاژن I در پوست موش نر آزمایشگاهی است. بیان ژن در گروه شاهد با پوست سالم، از کمیت و کیفیت طبیعی برخوردار است. اما پس از میکرونیدلینگ، پوست حیوانات تحت آزمایش تخریب شد و میزان بیان ژن کلاژن I در آنها به حداقل رسید. در این مطالعه، به مقایسه تیمارها در گروهای تحت آزمایش پرداخته شد تا نقش پانسمان نانوالیاف و ژل آلوئه ورا ، بر تعديل و بیان ژن کلاژن I، به منظور ترمیم و جوان سازی پوست پس از میکرونیدلینگ معرفی گردد.

مواد و روش‌ها

گروه بندی حیوانات: در این مطالعه تجربی از ۲۴ سر موش سوری نر، نژاد *Balb/c* در محلوده وزنی 22 ± 2 گرم مورد استفاده شد. حیوانات در چهار گروه مستقل شش تایی به شرح زیر تقسیم‌بندی شدند:
۱- شاهد، ۲- میکرونیدلینگ با تیمار سالین (مدل)،
۳- میکرونیدلینگ با تیمار ژل آلوئه ورا

تشکیل می‌دهد. این پروتئین نقش مهمی در ترمیم زخم‌ها تکثیر سلولی، مهاجرت و تمایز سلولی ایفا می‌کند. کلاژن به ECM قدرت انساط و الاستین به آن خاصیت ارتجاعی می‌بخشد و به آن اجازه می‌دهد تا کشیده شود و بعد به حالت اولیه خود برگردد. کلاژن نوع I، ۸۰ درصد و کلاژن نوع III بیشترین کلاژن‌ها در ماتریکس پوست هستند (۲۷). یکی از روش‌های جوانسازی و تحریک کلاژن‌سازی در پوست، میکرونیدلینگ است. در این تکنیک، سوزن‌های ریز و ظرفی دستگاه، منافذ کوچکی تا عمق خاصی از پوست ایجاد می‌کند. با تحریک فیبروبلاست‌ها انجام می‌گیرد. با افزایش تعداد فیبروبلاست‌ها در موضع آسیب دیده، ساخت کلاژن همچون فاکتورهای رشد وجود دارد (۱۰، ۲۶).

آلوئه ورا (*Aloe barbadensis Miller*) به عنوان یکی از گیاهان دارویی، سابقه بسیار طولانی در ترمیم زخم‌های پوستی را نشان داده است. نقش ضد التهابی، ضد باکتریایی، ضد رادیو اکتیویتی، ضد ویروسی و همچنین آنتیبیوتیک عصاره‌ی آلوئه ورا به اثبات رسیده است (۱۷، ۱۹، ۲۲). مطالعات فراوانی در مورد نقش فرآورده‌های این گیاه (عصاره، ژل، پودر، محلول خوراکی) بر روی نتایم زخم تایید شده است (۸). در مطالعه‌ای، نانوالیاف ژلاتین آلوئه ورا جهت ترمیم زخم، سنتز و استفاده شد . نانو الیاف بکار رفته با مکانیسم به دام انداختن، ذارت آیروسل را مهار کرده و الگوی مناسبی برای انتقال بخار تامین می‌کند و همچنین مانع نفوذ باکتری به سطح زخم می‌شود. این الیاف بخاطر سطح زیاد، در رسانش و حمل دارو از اهمیت برخوردار هستند (۲).

از آن پیپتاز گردید. سپس حدود ۱۰۰ میکرولیتر کلروفرم اضافه شد تا سلول‌ها شکافته شوند. پس از ۱ دقیقه، محلول، با دور 12000 g به مدت ۱۰ دقیقه سانتریفیوژ گردید و در آن سه بخش رویت شد: بخش شفاف در بالای لوله، حاوی RNA، بخش سفید رنگ در میانه لوله، حاوی بافت تجزیه شده و بخش صورتی رنگ در پایین لوله، حاوی کیازول. بخش شفاف به آرامی برداشته شد و در یک میکروتیوب قرار گرفت. سپس 1 ml ایزوپروپانول بر روی RNA شفاف ریخته شد و به مدت ۱ دقیقه به هم زده شد. ایزوپروپانول و RNA شفاف هستند اما وقتی این دو با هم مخلوط شوند مایع کدری را به وجود می‌آورند. پس از افزودن ایزوپروپانول نمونه‌ها در سانتریفیوژ با دور 12000 g به مدت ۱۰ دقیقه قرار داده شدند. پس از خارج کردن از سانتریفیوژ، مایع رویی تخلیه و روی آن 1 ml الكل ۷۰ درصد اضافه گردید. پس از سر و ته کردن محلول در لوله سر بسته، به مدت ۱۰ دقیقه با دور 7500 g سانتریفیوژ شد. سپس مایع رویی با سمپلر تخلیه گردید و پلاک بدست آمده در داخل میکروتیوب خشک شد. به منظور حل کردن RNA، ۲۰ میکرولیتر آب مقطر 60°C بر روی پلاک ریخته شد. سپس کمی با سرسمپلر پیپتاز و به مدت ۵ دقیقه بر روی صفحه 60°C درجه قرار داده شد.

RNA استخراج شده تا زمان استفاده در دمای -80°C درجه سانتیگراد نگهداری شد.

بررسی درجه خلوص RNA استخراج شده با استفاده از اسپکتروفوتومتری: در این روش با استفاده از خاصیت جذب نور در طول موج 260 nm و از رابطه $A_{260 \times 4} = A_{260 \times d/1000}$ درجه خلوص نمونه‌ی RNA بررسی گردید.

مقدار ناخالصی ناشی از حضور پروتئین یا DNA، در محلول RNA را می‌توان با محاسبه نسبت

۴- میکرونیدلینگ با تیمار نانوالیاف ژلاتین آلوئه ورا. جهت رعایت اصول اخلاق پژوهشی، دستوالعمل شماره‌ی $1028/700/1028$ د تاریخ $1397/3/23$ کمیته اخلاق مد نظر قرار گرفت. حیوانات در شرایط آزمایشگاهی دمای $22 \pm 2^\circ\text{C}$ درجه سانتی گراد و رطوبت ۵۰ درصد و دوره‌ی ۱۲ ساعت روشنایی و ۱۲ ساعت تاریکی با شرایط آب و تغذیه‌ی قابل دسترسی نگهداری شدند. در ادامه گروه مدل و گروه‌های تحت آزمایش، به کمک ترکیب دارویی شامل کتابیمن، گزایلازین و روش تزریق درون صفاقی بی‌هوش شدند و پس از تراشیدن موهای پشت، پوست آن‌ها میکرونیدلینگ شد. در دوره ۴۸ ساعته، هر ۲۴ ساعت، یک بار تیمار انجام گرفت.

ستز نانوالیاف: برای ستز نانوالیاف ژلاتین آلوئه ورا، از ژلاتین و ژل پودر آلوئه ورا استفاده شد. ابتدا محلول ۹۰ ده درصد حجمی ژلاتین‌گاوی با استیک‌اسید ۹۰ درصد آماده شد. سپس محلول ۵ درصد وزنی ژل پودر آلوئه ورا نیز با استیک‌اسید ۹۰ درصد تهیه شد. از ترکیب برابر حجمی محلول‌های ساخته شده، محلول سوم بدست آمد. محلول درون سرنج 5 ml مکیده و در دستگاه الکتروریسی بارگذاری شد. نانوالیاف با سرعت جمع‌آوری $0/5\text{ ml/sec}$ چرخش 100 rpm و ولتاژ 15 kv در بازه زمانی ۴ ساعت بر روی فویل آلومینیومی جمع‌آوری شدند.

نمونه‌برداری: به منظور بررسی‌های ملکولی پس از بی‌هوشی هر حیوان، نمونه‌برداری با کمک پانچ 3 میلی‌متری انجام گرفت.

استخراج mRNA کل: جهت بررسی بیان ژن، ابتدا استخراج RNA بافتی هر حیوان طبق پروتکل شرکت سازنده (کیاژن آلمان)، استخراج گردید. به بافت مورد نظر $200-300\text{ }\mu\text{l}$ میکرولیتر کیازول اضافه شد و به مدت ۲۴ ساعت در دمای -80°C قرار گرفت. پس از آن پلاک موجود در کرایوتبیوب توسط سرسمپلر خرد شد و بعد

coll-r GTGGAGAGAGTAGAGAGTGG
هچنین از ژن GAPDH به عنوان ژن کنترل داخلی استفاده شد. کد دسترسی NM_۰۰۱۲۸۹۷۳۶/۱ و طول قطعه حاصل ۱۲۴ جفت باز است.

Gapdh-f CCCTTAAGAGGGATGCTGCC
Gapdh-r TACGGCCAAATCCGTTCAC
واکنش زنجیره ای پلیمراز (PCR): در واکنش زنجیره ای پلیمراز، تکثیر مولکول DNA در شرایط آزمایشگاهی است که درون لوله توسط آنزیمها انجام می‌گیرد. این روش شامل چرخه‌های تکراری است که به کمک یک سری پرایمر و با حضور آنزیم پلیمراز، واکنش پلیمریزاسیون DNA الگو انجام می‌گیرد. چرخه‌ها برای تولید قطعات DNA تا مرحله‌ای انجام می‌گیرد که امکان آشکارسازی وجود داشته باشد.

Real Time PCR: هر واکنش PCR با استفاده از SYBER Green (PCR master mix) در دستگاه ABI Step One. Focter City CA (Applied Biosystems, Sequences Detection Systems) پروتکل شرکت سازنده انجام گرفت. ۴۰ دور برای هر چرخه Real-Time PCR در نظر گرفته شد. دمای هر دور شامل ۹۴ درجه سانتی‌گراد برای ۲۰ ثانیه، ۶۰ درجه سانتی‌گراد برای ۳۰ ثانیه و ۷۲ درجه سانتی‌گراد برای ۳۰ ثانیه تنظیم شد. نمودار نقطه ذوب واکنش‌های PCR، جهت بررسی آلودگی‌ها در هر واکنش مورد ارزیابی قرار گرفت. در این مطالعه از پرایمر اختصاصی کلاژن I استفاده شد. نسبت بیان ژن مورد بررسی و ژن کنترل داخلی، با روش مقایسه‌ای چرخه آستانه (CT) مورد ارزیابی قرار گرفت. با جایگزینی داده‌ها در روابط زیر، fold change محاسبه گردید.

$$R = 2^{-(\Delta\Delta CT)}$$

$$\Delta\Delta CT = (CT_{target} - CT_{reference})_{Time X} - (CT_{target} - CT_{reference})_{Time}$$

A260/A280 بدست آورد. در نمونه خالص RNA این نسبت برابر 0.15 ± 2 و در نمونه خالص DNA برابر 0.18 ± 1.8 است. اگر نسبت محاسبه شده کمتر از میزان استاندارد باشد، نشان‌دهنده آلودگی با پروتئین است.

cDNA: ساختار تهیه شده در معرض فعالیت آنزیم رونوشت‌بردار معکوس قرار گرفت. آنزیم mRNA رونوشت‌بردار معکوس با اسکن نمودن رشته mRNA و با قرار دادن دئوکسی ریبو نوکلئیک در مقابل هر نوکلئوتید mRNA، منجر به سنتز DNA مکمل می‌گردد.

آماده سازی: مقدار ۲ میکروگرم Template RNA و DEPC ۱ میکرولیتر پرایمر، به ۱۲ میکرولیتر آب اضافه شد، محلول حاصل برای ۵ دقیقه در دمای ۶۵ درجه سانتی‌گراد نگهداری شد و سپس روی یخ قرار گرفت. سپس مقدار ۴ میکرولیتر بافر واکنش، ۱ میکرولیتر ریبونوکلئاز، ۲ میکرولیتر dNTP و ۱ میکرولیتر آنزیم رونوشت‌بردار معکوس Revese Transcriptase به آن اضافه شد و به مدت ۵ دقیقه در دمای ۲۵ درجه سانتی‌گراد انکوبه شد. سپس ۶۰ دقیقه در دمای ۴۲ درجه سانتی‌گراد قرار گرفت. بعد از ۵ دقیقه دمای ۷۰ درجه سانتی‌گراد، واکنش متوقف شد و محصول بدست آمده در برودت -۲۰ درجه سانتی‌گراد نگهداری شد.

طراحی پرایمر: در این تحقیق جهت بررسی بیان ژن کلاژن نوع I و مقایسه آن با ژن کنترل داخلی GAPDH از پرایمرهای اختصاصی با مشخصات ذیل Oligo7 استفاده شد، برای طراحی پرایمر از نرم‌افزار BLASAT استفاده شد. تایید عملکرد اختصاصی ژن‌ها با کد BLASAT کردن در سایت NCBI انجام شد. کد دسترسی کلاژن یک NM_۰۰۷۷۴۲/۴ و طول قطبده (۲) حاصل ۱۵۱ جفت باز است.

coll-f GGACTTGTGTGAATTGTTGGGG

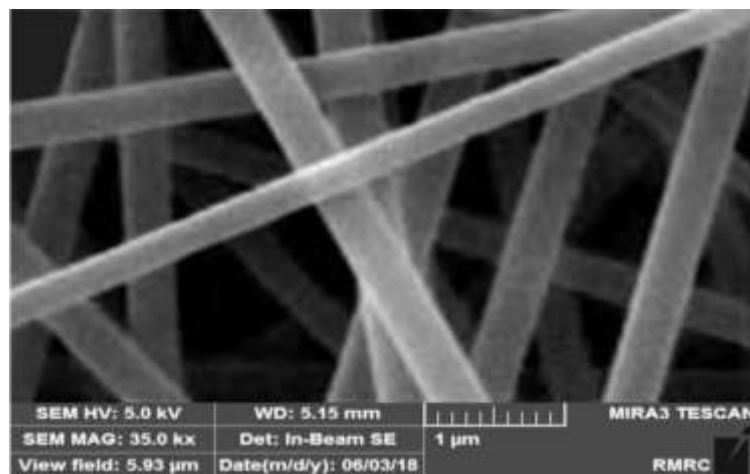
تولید و تکثیر محصول، از عدد CT به بعد، به صورت لکاریتمی پیش رفت. در رسم نمودار ۲، گروه کنترل به عنوان مرجع محاسبه log₂ fold change منظر شد. با توجه به نمودار، سطح بیان ژن کلژن I، در همه گروه‌های تحت آزمایش نسبت به گروه مرجع کمتر از صفر است و بیانگر کاهش معنا دار بیان ژن کلژن I در گروه‌های تیمار نسبت به گروه کنترل (مرجع) است. در جدول ۱ میانگین (fold change log₂) هر گروه به همراه SD ارائه شده است. برای بررسی و تحلیل اختلاف بیان ژن بین گروه‌ها از آزمون تحلیل اختلاف بیان ژن کلژن I استفاده شد. $p < 0.0001$ نشان‌گر وجود اختلاف معنی‌دار بین گروه‌ها در بیان ژن کلژن I است (جدول ۲). نتایج آزمون تکمیلی Tukey، مقایسه ۲ به ۲ گروه‌ها در جدول ۳ ارائه شده است. تغییرات بیان ژن در صورتی معنی‌دار است که $p < 0.05$ باشد. جدول ۳ نتایج حاصل از تست Tukey را نشان می‌دهد. در این جدول شدت کاهش یا افزایش بیان ژن و سطح معناداری درون گروهی مشخص شد. نتایج حاصل از این آزمون با $p < 0.05$ بررسی شد. نتایج نشان داد میزان بیان ژن کلژن I در گروه‌های تیمار نسبت به گروه شاهد، کاهش معنا داری دارد. در مقایسه درون گروهی مشخص شد بیان ژن با تیمار آلوئه ورا و نانوالياف ژلاتین آلوئه ورا، نسبت به گروه مدل افزایش معنا داری داشت. همچنین تفاوت معنادار بین گروه تیمار نانوالياف و ژل آلوئه ورا مشاهده نشد.

برای محاسبه سطح معنی‌داری اختلاف بیان ژن بین گروه‌ها از آزمون ANOVA و تست Tukey استفاده شد. اختلاف بیان ژن‌ها با استفاده از نرم‌افزار Genex 6 انجام شد و تحلیل آماری با استفاده از نرم‌افزار SPSS 21 و ترسیم نمودار با نرم‌افزار Graph pad prism 8 انجام گرفت.

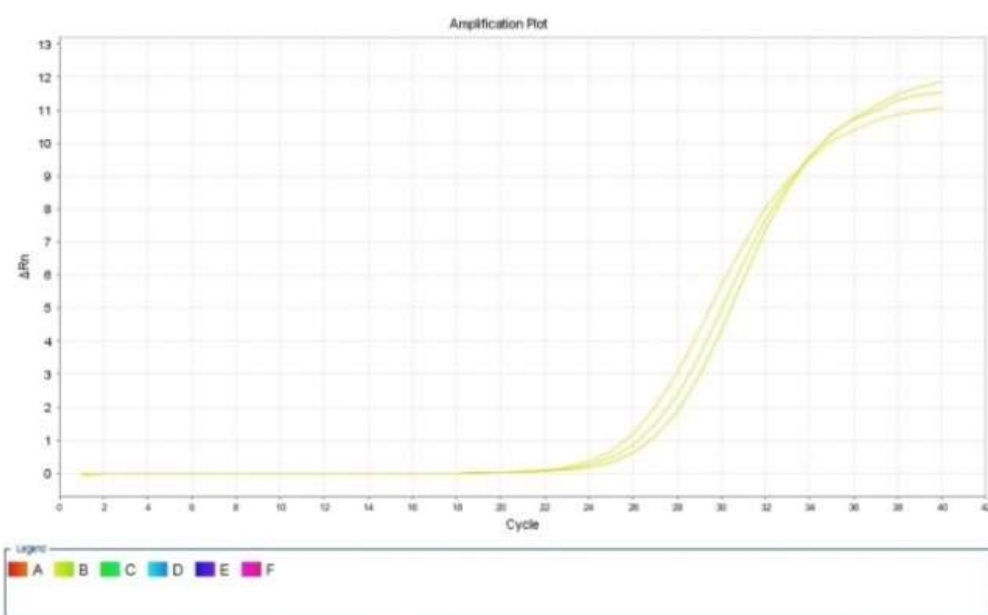
نتایج

نانوالياف سنتز شده توسط میکروسکوپ الکترونی مشخصه یابی شد. در شکل ۱، تصویر و اندازه نانوالياف سنتز شده ژلاتین آلوئه مشخص شده است. قطر این نانوالياف بین ۴۷۹ تا ۳۷۱ نانومتر تشخیص داده شد. تصاویر حاصل از آزمایش میکروسکوپ الکترونی SEM ساختار سه‌بعدی و منظم نانوالياف ژلاتین آلوئه‌ورا را نشان می‌دهد. همچنین مشخص شد شکل ظاهری رشته‌های نانوالياف ژلاتین آلوئه‌ورا، کاملاً مرتب و به صورت شبکه‌ای بر روی هم قرار گرفته‌اند. در تصاویر میکروسکوپ الکترونی SEM وجود حفره‌ها، بیانگر خودآرایی رشته‌ها است.

بررسی نمودار تکثیر (Ampification): تعیین مقدار واقعی محصول Real-time PCR در هر چرخه به وسیله شدت فلورسانس نشان داده می‌شود. نمودار ۱ میزان فلورسانس آشکار شده را در برابر چرخه‌های انجام شده، به صورت گرافیکی نشان می‌دهد. در این نمودار، شماره CT ژن کلژن I مشخص است.

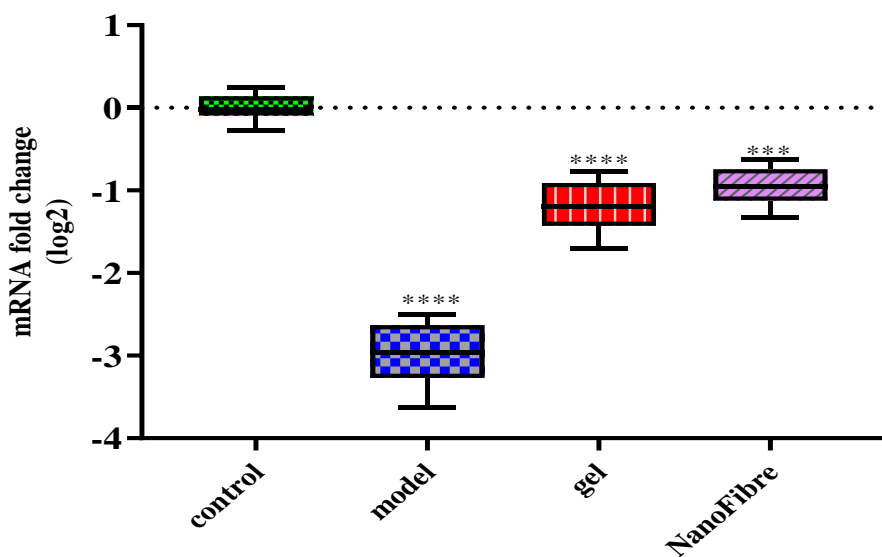


شکل ۱- تصویر SEM حاصل از نانوالایاف ژلاتین آلومینیم و را



نمودار ۱- نمودار تکثیر ژن کلژن I

Col-1



نمودار ۲- میزان تغییرات بیان ژن کلژن I در تیمارهای مختلف بر اساس \log_2 fold change نسبت به گروه کنترل

جدول ۱- SD (fold change log2) به همراه

ننانوالياف	ژل	مدل	کنترل	Number of values
۶	۶	۶	۶	
-۰/۹۵۲۱	-۱/۱۹۲	-۲/۹۷۷	۰	-ddct
۰/۲۳۹۴	۰/۳۲۴	۰/۳۹۹۹	۰/۱۷۲	Std. Deviation
۰/۰۹۷۷۲	۰/۱۳۲۲۳	۰/۱۶۳۳	۰/۰۷۰۴۶	Std. Error of mean

جدول ۲- نتایج حاصل از آزمون تحلیل واریانس یک طرفه

p value	F.value	mean.Sq	DF	Sum.Sq	ANOVA table
$p < 0.0001$	۱۰۵/۳	۹/۲۶۷	۳	۲۷/۸	Treatment
		۰/۰۸۸	۲۰	۱/۷۶	Residual
		۲۳		۲۹/۵۶	Total

جدول ۳- نتایج حاصل از آزمون تعقیبی توکی

Regulate	fold change	Summary	p Value	Mean Diff.	Tukey's test
-۷/۸۷۳	۰/۱۲۷۰۰۹	****	<0.0001	-۲/۹۷۷	model vs. control
-۲/۲۸۵	۰/۴۳۷۶۹۶	****	<0.0001	-۱/۱۹۲	gel vs. control
-۱/۹۳۵	۰/۵۱۶۸۸	***	<0.0001	-۰/۹۵۲۱	NanoFibre vs. control
+۳/۴۴۶	۳/۴۴۶۱۸۵	****	<0.0001	۱/۷۸۵	gel vs. model

+۴/۰۷۰	۴/۰۶۹۹۱۹	****	<۰/۰۰۰۱	۲/۰۲۵	NanoFibre vs. model
+۱/۱۸۱	۱/۱۸۱۳۲	Ns	۰/۵۱۱۶	۰/۲۴۰۴	NanoFibre vs. gel

بحث

جدید مهیا می‌کند (۱۱، ۱۸) با توجه به نظر لیبر (۱۶)، هنگامی که سوزن‌ها در مجاور غشا قرار می‌گیرند، پتانسیل الکتریکی غشنا را از -70 mV به -100 mV -افزایش می‌یابد و این موضوع باعث فعالیت سلول و انتشار پروتئین‌های مختلف، پتانسیم و فاکتورهای رشد از سلول‌ها به محیط خارج سلولی است و نتیجه آن، القا کلاژن در فیبروبلاست‌ها است. بنابر این سوزن‌ها زخم واقعی ایجاد نمی‌کنند، اما سلول‌های بدن در باور آسیب، فریب می‌خورند (۱۵، ۱۶، ۱۸). ترمیم زخم و رسوب کلاژن جدید منجر به استحکام پوست و پر شدن جای زخم‌های آتروفیک می‌شود. در مدل‌های آزمایشگاهی میکرونیدلینگ باعث افزایش نفوذ داروها از سد پوست شده است (۲۱).

نقش فرآورده‌های آلوئه ورا (عصاره، ژل، پودر، محلول خوراکی) بر روند التیام زخم تایید شده است (۸). گیاه آلوئه ورا حاوی پلی ساکارید گلومانان بوده و غنی از مانوز است. گلومانان بر گیرنده‌های فاکتور رشد فیبروبلاستی اثر گذاشته و فعالیت و تکثیر این سلول‌ها را تحریک می‌کند. و این امر به نوبه خود موجب افزایش تولید و ترشح کلاژن است. موسیلاژ آلوئه ورا نه تنها میزان کلاژن را در محل آسیب افزایش می‌دهد بلکه با ایجاد تغییر در ساختار کلاژن، اتصالات عرضی این رشته‌ها را افزایش می‌دهد و کلاژن حاصل، از مرغوبیت بهتری برخوردار می‌گردد (۷). فاکتورهای رشد شبه انسولینی در پوست نرمال به وسیله تعداد کمی از سلول‌های درم و اپیدرم ترشح می‌شوند اما در طی آسیب پوستی توسط اکثر سلول‌های اپیدرمی از جمله ماکروفازها و پلاکت‌ها

در این مطالعه نقش نانوالیاف ژلاتین آلوئه ورا بر بیان ژن کلاژن I مشخص شد. یافته‌های بدست آمده نشان از تاثیر نانوالیاف ژلاتین آلوئه ورا و ژل آلوئه ورا بر بیان ژن کلاژن I پس از جراحت داشت. در مقایسه گروه‌های تحت آزمایش نسبت به گروه شاهد، کاهش بیان ژن به علت تخریب بافت پوست معنادار بود. اما در مقایسه درون‌گروهی و آزمون Tukey، مشخص شد، میزان افزایش بیان ژن کلاژن I در گروه تحت آزمایش نانو الیاف و گروه تحت آزمایش ژل، نسبت به گروه مدل معنادار بود. همچنین مقایسه گروه تحت آزمایش نانوالیاف و گروه تحت آزمایش ژل آلوئه ورا تفاوت معنادار دیده نشد. دلیل استفاده از نانوالیاف ویژگی‌های قابل توجه نانوالیاف است. نانوالیاف بکار رفته با مکانیسم به دام انداختن، ذارت آیروسول را مهار کرده و الگوی مناسبی برای انتقال بخار تامین می‌کند و مانع نفوذ باکتری به سطح زخم می‌شود. این الیاف بخاطر سطح زیاد، در رسانش و حمل دارو از اهمیت برخوردار هستند (۲). همچنین در هنگام میکرونیدلینگ جراحت‌های کنترل شده‌ای در سطح پوست ایجاد شد. در این آسیب‌های بسیار ریز، خون ریزی سطحی ناچیزی انجام گرفت. بهبود جراحت با ترشح فاکتورهای رشد مانند فاکتور رشد مشتق شده پلاکت PDGF، فاکتور رشد تغییر دهنده آلفا α TGF، فاکتور رشد تغییر دهنده بتا β TGF، پروتئین فعال کننده بافت همبند، فاکتور رشد بافت همبند و فاکتور رشد فیبروبلاستی FGF انجام گرفت (۱۲).

سوزن‌های ریز با تخریب رشته‌های قدیمی، شرایط را برای مهاجرت و تکثیر فیبروبلاست‌ها در لایه‌های ماتریکس بین سلولی، نوسازی عروق و کلاژن سازی

نتیجه‌گیری

هنگام میکرونیدلینگ، جراحت‌های کنترل شده‌ای در پوست حیوانات تحت آزمایش ایجاد شد. در این مطالعه مشخص شد: ۴۸ ساعت تیمار آلوئه ورا و نانوالیاف آلوئه ورا باعث افزایش معنا دار بیان ژن کلاژن I در محل جراحت است. نانوالیاف ژلاتین آلوئه ورا نسبت به ژل آلوئه ورا، توانایی مهار ذرات آیروسل، انتقال بخار، سطح مناسب برای رسانش دارو و خواص ضد باکتریایی دارند. لذا تیمار نانوالیاف ژلاتین آلوئه ورا می‌تواند، بخشی از پانسمان مناسب برای ترمیم و جوان سازی پوست موش نر آزمایشگاهی بعد از میکرونیدلینگ باشد. نانوالیاف ژلاتین آلوئه ورا از طریق منافذ ایجاد شده در پوست، قابلیت تحويل گلومانان و سایر ترکیبات موثر را به صورت هدفمند و اقتصادی دارند. با ورود مواد موثر علامت دهی سلولی و مکانیزم های مرتبط، با تاثیر بر فاکتورهای رشد، باعث بیان ژن کلاژن I می‌گردد. البته در جوان سازی و ترمیم پوست، بیان کلاژن I و ترمیم ECM امری ضروری است.

منابع

1. AntonIades HN., Galanopoulos T., Neville CP., Andlynch S.E., 1993. Expression of growth factor and receptor mRNAs in skin epithelial cells following acute cutaneous injury. *The American Journal of pathology*, 142: 1099-1110.
2. Assimopoulou A.N., Boskou D., Papageorgiou V.P., 2004. Antioxidant activities of alkannin, shikonin and Alkanna tinctoria root extracts in oil substrates, *Food Chemistry*, 87: 433-438.
3. Badran M.M., Kuntsche J., 2009. Skin penetration enhancement by a microneedle device in vitro: Dependency on needle size and applied formulation. *European Journal of Pharmaceutical sciences*, 36: 511-523.

ترشح می‌گردد. این خانواده از فاکتورهای رشد موجب تحریک میتوژنیک فیبروبلاست‌ها شده و در روند آنژیوژنیز دخیل می‌باشند (۲۴). فاکتورهای رشد انسولینی IGF به همراه سایر فاکتورها نظیر PDGF نقش مهمی در فرآیند ترمیم زخم دارند و باعث افزایش ضخامت درم و اپیدرم می‌شوند. در لایه بازال اپیدرم پوست نرمال، میزان بیان ژن IGF کم است اما این میزان در یک تا سه روز پس از بروز زخم افزایش معنی دار پیدا می‌کند (۵، ۱۳). همچنین در مطالعه‌ای مشخص شد، افزایش غیرطبیعی بیان ژن IGF در فیبروبلاست‌های آسیب دیده، موجب افزایش بیان ژن کلاژن I و تولید زنجیره پروآلfa I از کلاژن نوع I گردید. و بدین ترتیب کلاژن تولیدی، افزایش اندازه اثر زخم را فراهم نمود (۶، ۹). فاکتورهای رشد، مسیر علامت دهی پروتئین کیناز فعال کننده میتوژن MAPK را تحت تاثیر قرار می‌دهند. این مسیر در ارتباط با فاکتورهای رشد است. MAPK ها در پاسخ‌های سلولی به محرك‌هایی مانند میتوژن‌ها، استرس اسمزی، شوک حرارتی و فاکتورهای پیش‌التهابی نقش دارند. آن‌ها عملکرد سلول از جمله تکثیر، بیان ژن، تمایز، بقای سلولی و آپوپتوز را تنظیم می‌کنند. برای اتصال لیگاند نیاز به دیمیریزاسیون است. در این حال تیروزین کیناز فعال شده و فسفوریلاسیون انجام می‌گیرد. با فسفوریلاسیون گیرنده پروتئینی به نام GRB2 فعال می‌شود. این پروتئین به عنوان اتصال دهنده عمل می‌کند و پروتئین دیگری به نام SOS را فعال می‌کند. با فعال شدن SOS پروتئین دیگری به نام Ras فعال می‌شود. با فعال شدن Ras پروتئین دیگری به نام Raf فعال می‌شود. Raf هم، Raf کینازها را فعال می‌کند و در ادامه آبشار کینازها جریان یافته و نتیجه آن، بیان برخی ژن‌ها از جمله ژن کلاژن I است (۲۲).

13. Gartner M., Benson J.D., Caldwell M.D. 1992. Insulin-like growth factors. *Journal of Surgical Reserch*, 52: 389-394.
14. Kamolz L.P., Lumenta D.B. 2013. Dermal Replacements in General, Burn, and Plastic Surgery. Springer Publication.
15. Kloth L.C. 2005. Electrical stimulation for wound healing: A review of evidence from in vitro studies, animal experiments, and clinical trials. *International Journal Low Extremity Wounds*, 4(1): 23-44.
16. Liebl H., Kloth L.C. 2012. Skin cell proliferation stimulated by microneedles. *The Journal of the American College of Clinical Wound Specialists*, 4: 2-6.
17. Liu C., Leung M.Y., Koon J.C., Zhu LF., Hui Y.Z., Yu B. 2006. Macro phage activation by polysaccharidebiological response modifier isolated from *Aloe vera Lvarchinensis* (Haw). *Berg International Journal Immunopharmacology*, 6(11): 1634-1641.
18. Majid I., Sheikh G., September PI., 2014. Microneedling and its applications in dermatology. *Microneedling and its Applications in Dermatology*, 4(7): 44-49.
19. Moon E.J., Lee Y.M., Lee O.H., Lee M.J., Lee S.K., Chung M.H. 1999. A novel angiogenic factor derived from *Aloe vera* gel: beta-sitosterol, a plant sterol. *Angiogenesis*, 3(2): 117-123.
20. Norouzi M., Shabani, I., Atyabi, F. 2015. EGF-loaded Nanofibrous Scaffold for Skin Tissue Engineering Applications. *Fibers and Polymers*, 16: 782-787.
21. Oh J.H., Park H.H., Do K.Y., Han M., Hyun D.H., Kim C.G. 2008 Influence of the delivery systems using a microneedle array on the permeation of a hydrophilic molecule, calcein. *European Journal of Pharmaceutics and Biopharmaceutics*, 69: 1040-1045.
22. Oryan A., Naimi A. 2010. Effect of queues extract of *aloe vera* cutaneous wound healing in rat. *Veterinary Sky Archive*, 80(4): 509-522.
4. Barrientos S., Stojadinovic O., Golinko M.S., Brem H., Tomic-Canic M. 2008. Growth factors and cytokines in wound healing. *Wound Repair and Regeneration*, 16(5): 585-601.
5. Bitar M.S., Labbad Z.N., 1996. Transforming growth factor-beta and insulin-like growth factor-I in relation to diabetes-induced impairment of wound healing. *Journal of Surgical Reserch*, 61: 113-119.
6. Bitar M.S. 2000. Insulin and glucocorticoid-dependent suppression of the IGF-I system in diabetic wounds. *Jornal of Surgery*, 127: 687-695.
7. Boudreau M.D., Beland F.A. 2006. An evaluation of the biological and toxicological properties of *Aloe barbadensis (miller)*. *Journal of Environmental Science and Health. Part C, Environmental Carcinogenesis and Ecotoxicology Reviews*, 24(1): 103-154.
8. Chithra P., Sajithlal G.B., Chandrakasan G., 1998. Influence of *Aloe vera* on the glycosaminoglycans in the matrix of healing dermal wounds in rats. *Journal of Ethnopharmacology*, 59(3): 179-186.
9. Chu Y., Yu D., Wang P., Xu J., Li D., Ding M. 2010. Nanotechnology promotes the fullthickness diabetic wound healing effect of recombinant human epidermal growth factor in diabetic rats. *Wound Repair and Regeneration*, 18(5): 499-505.
10. Demchuk M.P., Ivankova O.V., Klunnyk M.O., Matiyashchuk I.G., Sych N.S. 2017. Use of fetal stem cells for Anti-Aging and Rejuvenation. *Journal of Regenerative Medicine*, 6: 1.
11. Fabbrocini G., Fardella N., Monfrecola A., Proietti I., 2009. Acne scarring treatment using skin needling. *Clinical and Experimental Dermatology*, 34: 874-879.
12. Falabella A.F., Falanga V. 2001. *The Biology of the Skin: Parthenon*, 281-299.

- Ryan F. Donnelly. 2015. Microneedle applications in improving skin appearance. *Experimental Dermatology*, 24(8): 561-566.
26. Supp D.M., Boyce S.T. 2005. Engineering skinsubstitutes. *practices and potentials, Clinic in Dermatology*, 4: 203-212.
27. Verrecchia F., Mauviel A. 2007. Transforming growth factor- β and fibrosis. *World Journal of Gastroenterology*, 22: 3056-3062.
28. Wong D. J., Chang H. 2009. Skin Tissue Engineering. Stanford StemBook.
23. Pearson G., Robinson F., Beers G.T., Xu B.E., Karandikar M., Berman K., Cobb M.H. 2001. Mitogen-activated protein (MAP) kinase pathways: regulation and physiological functions. *Endocrine reviews*, 22 (2) : 153–183.
24. Sabene W., Richard G. 2003. Regulation of Wound Healing by Growth Factors and Cytokines. *Physiology Reviews*, 83 (3): 835-870.
25. Singh R., Maelíosa T.C. McCrudden, Emma McAlister, Aaron J. Courtenay, Patricia González-Vázquez, Thakur Raghu ,

